

05:06:07

© 1994 г.

**ДИНАМИКА ЦИЛИНДРИЧЕСКИХ
МАГНИТНЫХ ДОМЕНОВ
В ФЕРРИТ-ГРАНАТОВОЙ ПЛЕНКЕ
КАК ПРОСТРАНСТВЕННОМ МОДУЛЯТОРЕ СВЕТА**

Е.И.Николаев, А.И.Линник, В.Н.Саяпин

В эпитаксиальных феррит-гранатовых пленках состава $(\text{BiLu})_3(\text{FeGa})_5\text{O}_{12}$, выращенных из раствора в расплаве $\text{Bi}_2\text{O}_3-\text{B}_2\text{O}_3-\text{BaF}_2-\text{BaO}$, исследован комплекс статических и динамических свойств ЦМД (скорость и подвижность доменных стенок в планарном магнитном поле $H_p \leq 450 \text{ Гц}$, намагниченность насыщения, константа одноосной анизотропии, ширина линии ФМР). Показано, что при использовании ЦМД для формирования двумерного оптического изображения в качестве пространственного модулятора света (ПМС) может быть обеспечено время переключения единичного магнитооптического элемента $t \leq 10^{-8} \text{ с}$ при минимальной амплитуде переключающего токового импульса. Дальнейшее улучшение динамических характеристик ПМС на ЦМД связано с более полным исключением примесей быстрорелаксирующих редкоземельных ионов и Fe^{2+} из структуры ферраграната, присутствие которых проявляется в уширении линии ФМР при диамагнитном разбавлении подрешеток железа. Показана реальная возможность получения ФГП с нулевой магнитострикцией λ_{111} и нулевой "чувствительностью" ЦМД к локальным напряжениям на пути их продвижения, что открывает перспективу управления ЦМД при существенно малой плотности тока в проводниковый управляющей схеме.

Достижения фотонной технологии применительно к разработкам оптического ассоциативного ЗУ в долгосрочном плане могут оказать существенное влияние на такие области, как робототехника, машинное зрение, искусственный интеллект. Требуемая высокая пропускная способность такого АЗУ может быть достигнута за счет метода аналоговой оптической обработки, в котором используется принцип выделения оптических фурье-характеристик двумерного объекта. Информация, содержащаяся в двумерном оптическом изображении, кодирует взаимодействующий с ним лазерный пучок, который после этого спонтанно осуществляет двумерное фурье-преобразование, реализуемое в фурье-плоскости.

Техническое решение, предлагаемое авторами, состоит в том, чтобы использовать для формирования двумерного оптического изображения цилиндрические магнитные домены, содержащиеся в Визамещенных феррит-гранатовых пленках (ФГП), обладающих высокой магнитооптической добротностью. Время перепрограммирования та-

кого пространственного модулятора света (определенное пропускную способность системы) определяется скоростью перемещения ЦМД на расстояние, примерно равное диаметру, под действием импульса тока в электрической схеме. Такое решение представляет интерес в том случае, если длительность переключения единичного магнитооптического элемента (оптического затвора) менее 10 нс, из чего следует, что средняя скорость трансляции ЦМД диаметром 5 мкм должна быть не менее 500 м/с. В [1] показана возможность движения доменной стенки (ДС) со скоростью V_{DW} до 1450 м/с в ФГП $(\text{BiTm})_3(\text{FeGa})_5\text{O}_{12}$ с большим эффективным гиromагнитным отношением γ . Однако такие ФГП помимо низкой термостабильности характеризуются низкой подвижностью ($\mu_{DW} \leq 10 \text{ мс}^{-1} \cdot \text{Э}^{-1}$). Поэтому высокая скорость ЦМД в них может поддерживаться только при большой плотности тока в проводниках в управляющей схеме (и соответственно большом тепловыделении). Последнее обстоятельство обуславливает требование высокой подвижности $\mu_{CMD} = 0.5\mu_{DW}$ в ФГП для оптического АЗУ.

Наибольшая подвижность ДС достигается в ФГП, содержащих только сферические или немагнитные ионы [2]. К таковым относится композиция $(\text{BiLu})_3(\text{FeGa})_5\text{O}_{12}$, которая позволяет иметь наибольшее Bi-замещение по условию соответствия кристаллических решеток ФГП и подложечного кристалла ГГГ. Линейная область динамики ЦМД по продвигающему полю в таких "высокоподвижных" ФГП очень мала, но она может быть расширена путем приложения магнитного поля H_p в плоскости ФГП, что позволяет одновременно увеличивать V_{DW} и μ_{DW} [2,3]. Так, приложение $H_p = 100 \text{ Э}$ позволило наблюдать в ФГП $(\text{BiYLu})_3(\text{FeGa})_5\text{O}_{12}$ трансляционное движение ЦМД $\phi 3 \text{ мкм}$ со скоростью $600 \text{ м} \cdot \text{с}^{-1}$ и подвижностью $335 \text{ м} \cdot \text{с}^{-1} \cdot \text{Э}^{-1}$ [4]. Этот результат является самым впечатляющим из всех опубликованных данных по трансляционной динамике ЦМД. Следует, однако, отметить, что применение столь большого поля H_p в реальных устройствах достаточно проблематично.

В настоящей работе исследована возможность достижения максимального уровня динамических свойств пятимикронных ЦМД в ФГП $(\text{BiLu})_3(\text{FeGa})_5\text{O}_{12}$ толщиной $h = 5 \text{ мкм}$ в поле $H_p \leq 500 \text{ Э}$, что определялось целевым назначением магнитооптической среды.

Для жидкофазной эпитаксии ФГП на подложках ГГГ ориентации (111) был применен оригинальный растворитель $\text{Bi}_2\text{O}_3\text{-B}_2\text{O}_3\text{-BaF}_2\text{-BaO}$, характеризующийся относительно низкой коррозионной активностью по отношению к платине и отсутствием в его составе PbO , что позволило уменьшить оптическое поглощение, связанное с вхождением в структуру граната ионов Pb^{2+} , Pb^{4+} , Pt^{4+} , Fe^{2+} [3]. Последний к тому же ответствен за увеличение параметра вязкого затухания α и соответственно снижение линейной подвижности ДС. В полученных образцах исследованы μ_{CMD} , V_{CMD} , ширина линии ферромагнитного резонанса ΔH_{FMR} , а также намагниченность насыщения $4\pi M_s$, константа одноосной анизотропии K_u и др., для чего применялись стандартные измерительные методики [5].

Характеристики типичного образца представлены в табл. 1.

Значения, помеченные звездочкой, получены при измерении в поле $H_p = 450 \text{ Э}$, при этом эффективный параметр затухания определен

Таблица 1.

Состав ФГП	h , мкм	$4\pi M_S$, Гс	K_u , 10^3 эрг/см 3	γ , $10^7 \Theta^{-1} \cdot \text{с}^{-1}$	A , 10^{-7} эрг/см
Bi ₁ Lu ₂ Fe _{3.8} Ga _{1.2} O ₁₂	5.0	160	6.9	1.76	1.6

Продолжение

Состав ФГП	V_{CMD}^{\max} , м/с	μ_{DC} , м/(сЭ)	α_{ef}	α_{FMR}
Bi ₁ Lu ₂ Fe _{3.8} Ga _{1.2} O ₁₂	> 400*	260*	0.0031*	0.0024

как [2]

$$\alpha_{ef} = \mu_{DW}^{-1} \cdot \gamma \cdot \Delta_0, \quad (1)$$

где $\Delta_0 = \sqrt{A/K_u}$ — параметр ширины ДС, A — константа обменного взаимодействия.

Максимальное значение скорости V_{CMD}^{\max} определилось ограничениями измерительной аппаратуры, в то время как в соответствии с формулой [2]

$$V^{\max}(H_p \gg 8M) = 0.5\pi \cdot \gamma \cdot \Delta_0 \cdot H_p \quad (2)$$

ожидаемое значение критической скорости V^{\max} составляет $570 \text{ м} \cdot \text{с}^{-1}$, что соответствует минимальным техническим требованиям. Подвижность $\mu_{DW} = 2\mu_{CMD} = 260 \text{ м} \cdot \text{с}^{-1} \cdot \text{Э}^{-1}$, по-видимому, является самой высокой для данной композиционной системы, поскольку наивысшее достижение по прежним публикациям составило $200 \text{ м} \cdot \text{с}^{-1} \cdot \text{Э}^{-1}$ в поле $H_p = 300 \text{ Э}$ [3]. Вместе с тем эта величина, ниже теоретической μ_{DW}^{FMR} , которая определяется из (1) подстановкой величины $\alpha_{FMR} = 0.0024$ и равняется $330 \text{ м} \cdot \text{с}^{-1} \cdot \text{Э}^{-1}$.

Возможные пути повышения μ_{DW} анализируются ниже. На рис. 1 представлена зависимость скорости V_{CMD} в ФГП (табл. 1) от продвигающего поля $d \cdot \nabla H$ (d — диаметр ЦМД, ∇H — градиент поля смещения), измеренной по методу Велла-Колейро [6] с приложением поля в плоскости H_p . Величина μ_{CMD} определяется для каждой прямой как $\Delta V / \Delta(d \cdot \nabla H)$. Как видно из рис. 1, подвижность ЦМД находится в прямой зависимости от величины H_p , так что параметр α_{ef} по мере увеличения H_p от 300 до 450 Э уменьшается от 0.0062 до 0.0031, приближаясь к величине α_{MP} . Подобный эффект на других ФГП наблюдался ранее [2], однако однозначного понимания его природы нет до настоящего времени. Эффект наблюдается только в "высокоподвижных" ФГП, так как в "малоподвижных" уже при $H_p = 0$ имеет место совпадение величин $\alpha_{ef}(\mu_{DW})$ и α_{FMR} [2]. В "высокоподвижных" ФГП совпадение указанных величин имело место только при чрезвычайно малой величине продвигающего поля — 0.01 Э и $H_p = 5$ Э [7].

Эти результаты можно рассматривать как аргумент в пользу гипотезы, согласно которой в "высокоподвижных" ФГП из-за малой величины критического поля продвижения эксперимент по динамике ЦМД (ДС) уже изначально оказывается вне пределов линейной области.

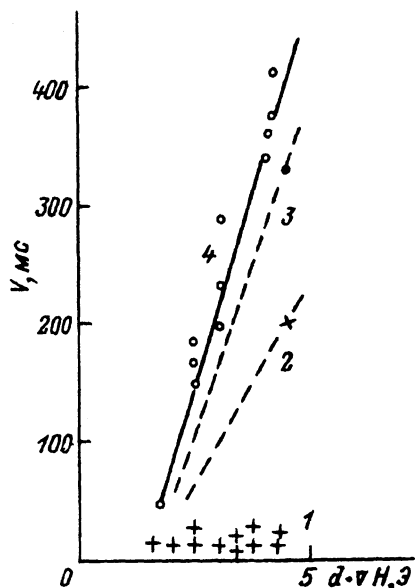


Рис. 1. Зависимости скорости трансляционного движения ЦМД V от величины продвигающего поля $(d \cdot \nabla H)$ для ФГП $(\text{BiLu})_3(\text{FeGa})_5\text{O}_{12}$ (табл. 1).

Величины постоянного поля в плоскости: 1 — 0, 2 — 300, 3 — 410, 4 — 450 Э.

При этом движение ДС сопровождается генерацией блоховских линий (БЛ), что резко снижает μ_{DW} . Приложение поля H_p способствует "очищению" ДС от БЛ и восстановлению структуры блоховской ДС с соответствующим повышением μ_{DW} .

В таком случае можно ожидать, что в эксперименте с большими продвигающими полями приложение достаточно большого поля H_p должно обеспечить снижение α_{ef} до величины α_{FMR} . В большинстве исследований такого рода применялось поле $H_p \leq 400$ Э и при этом сохранялось значительное различие в указанных величинах [2]. Наши исследования показывают, что в поле

$$H_p \simeq \frac{1}{3} \cdot \frac{2K_u}{M_S}$$

равенство указанных величин не наступает, но при этом α_{ef} будет тем ниже, чем ниже $\alpha_{FMR} = \Delta H_{FMR}\gamma/2\omega$. Дальнейшее увеличение α_{ef} нецелесообразно из-за неизбежных изменений исходной доменной структуры. Возникает вопрос о минимальном уровне ΔH_{FMR} ФГП с ЦМД (т.е. ФГП с диамагнитным разбавлением тетраэдрической подрешетки феррита-граната). Известно, что в ФГП $\text{Y}_3\text{Fe}_5\text{O}_{12}$ $\Delta H_{FMR} = 0.3 - 0.5$ Э, но, приняв специальные меры, можно получить $\Delta H_{FMR} = 0.15$ Э [8]. Можно было бы ожидать столь же малой величины ΔH_{FMR} в ФГП $(\text{BiYLu})_3(\text{FeGa})_5\text{O}_{12}$, поскольку замещения немагнитными или сферическими ионами Bi^{3+} , Ga^{3+} , Lu^{3+} не изменяют механизм релаксации, присущий ЖИГ [2,5]. В действительности в таких ФГП $\Delta H_{FMR} > 2$ Э, как это следует из табл. 2.

Сопоставляя наши данные по образцам 2,3,4 с данными других авторов, можно видеть, что уменьшение намагниченности ФГП сопровождается уширением линии ФМР. При этом прослеживается и количе-

Таблица 2.

Номер образца	Состав ФГП	$4\pi M_S$, Гс	ΔH_{FMR} , Э	Источник
1	$Y_3Fe_5O_{12}$	1760	0.15	[⁸]
2	$Y_3(FeSc)_5O_{12}$	1800	0.26	Данная работа
3	$Bi_{0.8}Lu_{2.2}Fe_5O_{12}$	1800	0.5	—“—
4	$Bi_{1.0}Lu_{2.0}Fe_{3.8}Ga_{1.2}O_{12}$	160	7.5	—“—
5	$Bi_{1.1}Li_{1.9}Fe_{3.9}Ga_{1.1}O_{12}$	270	5.0	[³]
6	$(BiYLu)_3(FeGa)_5O_{12}$	330	5.8	[⁴]
7	$(BiYLu)_3(FeGa)_5O_{12}$	600	2.8	[⁴]
8	$(BiYCa)_3(FeSi)_5O_{12}$	600	4.3	[⁹]

ственная связь: уменьшение $4\pi M_S$ на порядок величины сопровождается увеличением ΔH_{FMR} также на порядок величины.

Такая связь указывает на ионный (спин-решеточный) механизм релаксации, при котором действует соотношение [¹⁰]

$$2\Delta H_{FMR} \sim \frac{1}{M_S} \cdot \Omega P, \quad (3)$$

где Ω — релаксационный множитель, зависящий от частоты; P — множитель, не зависящий от частоты.

Ранее такая корреляция была экспериментально исследована в ФГП с быстрорелаксирующими ионами (Sm^{3+} , Eu^{3+}), в которых как раз и должен проявляться указанный механизм релаксации [¹¹]. Обнаружение такой корреляции в нашем случае может указывать на присутствие в ФГП примесей ионов с сильной спин-орбитальной связью, например Fe^{2+} , присутствие которого в ФГП $(BiLu)_3(FeGa)_5O_{12}$ приводит к увеличению ΔH_{FMR} до 30–40 Э [³]. Нельзя также исключать присутствие примесей быстрорелаксирующих редкоземельных ионов вследствие неидеальной очистки исходных окислов иттрия и лютения.

Если вышеуказанные рассуждения верны, то можно рассматривать величину $4\pi M_S$ как фактор повышения μ_{DW} . Исходя из результатов данного исследования, сделаем оценку предельных значений $\mu_{DW} = 2\mu_{CMD}$ и V_{CMD}^{\max} , которые могут быть достигнуты в ФГП $(BiLu)_3(FeGa)_5O_{12}$, продуцируемых по описанной технологии, при соответствующей оптимизации состава, условий роста и увеличении H_p до 1000 Э (что в принципе возможно). По условию $d = h = 5$ мкм увеличение $4\pi M_S$ связано с увеличением K_u соотношением [⁵]

$$d_{CMD} = 8\sqrt{A \cdot K_u} / \pi M_S^2 = 5 \cdot 10^{-4} \text{ см.} \quad (4)$$

Величина K_u определяется также из условия

$$1/3 \cdot (2K_u/M_S) = H_p = 1000 \text{ Э.} \quad (5)$$

Решая систему уравнений (4) и (5), получаем искомые величины $4\pi M_S = 230$ Гс и $K_u = 2.7 \cdot 10^4$ эрг · см⁻³ (как показано в [⁴], такая величина K_u реально достижима). В соответствии с (3) можно ожидать

уменьшения α_{ef} (табл. 1) до величины 0.0022, при этом численные значения подвижности и предельной скорости, согласно (1) и (2) составляет $\mu_{DW} = 200 \text{ м} \cdot \text{с}^{-1} \cdot \text{Э}^{-1}$ и $V_{CMD}^{\max} = 690 \text{ м} \cdot \text{с}^{-1}$. В обобщенном виде взаимосвязь всех вышеуказанных факторов имеет вид

$$V_{DW}^{\max} \sim \gamma \sqrt[4]{AK_u}, \quad (6)$$

$$\mu_{DW} \sim \gamma \cdot \sqrt[4]{A^3/K_u}. \quad (7)$$

Как следует из (6) и (7), повышение предельной скорости движения ЦМД за счет повышения K_u и соответствующего повышения H_p , должно сопровождаться столь же быстрым снижением подвижности, допустимый предел которой определяет, таким образом, частотную характеристику магнитооптического затвора на ЦМД. Поднять этот предел можно, снизив α_{FMR} за счет дальнейшего снижения содержания примесей быстрорелаксирующих ионов в ФГП.

Вышеприведенный анализ сделан в предположении, что взаимодействие ДС с полем напряжений, локализованным вблизи края проводниковых шин схемы управления, достаточно мало. В противном случае именно это взаимодействие, а не величина подвижности будет определять плотность тока в схеме управления. Природа этого взаимодействия определяется обратным магнитоупругим эффектом, благодаря которому при переходе из области сжатия в область растяжения (или наоборот) ДС претерпевает изменение поверхностной плотности энергии (вследствие изменения K_u). Выражение для силы, действующей при этом на ЦМД в терминах поля продвижения, необходимого для отрыва (старта) ЦМД ΔH_{st} , согласно формализму Лишмана, имеет вид [12]

$$\Delta H_{st} \sim \lambda_{111}/h(2K_u/M_S), \quad (8)$$

где λ_{111} — константа магнитострикции ФГП.

Возможность минимизации величины ΔH_{st} была исследована на "модельных" ФГП, состав и свойства которых приведены в табл. 3.

Здесь образец 1 — типичная ФГП с ЦМД, изготавливаемая серийно и использованная для сравнения. Образцы 2 и 3 получены в данной работе методом эпитаксии из растворов в расплаве на основе $\text{BaF}_2\text{-B}_2\text{O}_3\text{-BaO-PbO}$, с содержанием MnO_2 2.5 и 1.3 мол.% соответственно. За счет вхождения небольшого количества ионов Mn^{3+} , дающих положительный вклад в величину λ_{111} [13], достигалось увеличение λ_{111} от исходной $\lambda_{111} < 0$ до $\lambda_{111} \approx 0$ и $\lambda_{111} > 0$. На рис. 2 представлена зависимость величины ΔH_{st} от местоположения ЦМД относительно края аппликации из сплава Al-Cu, напыленного слоем

Таблица 3.

Номер образца	Состав ФГП	$\lambda_{111} \cdot 10^6$	$d, \text{ мкм}$	$h, \text{ мкм}$	$K_u/2\pi M_S^2$
1	$(\text{YSmEuLuCa})_3(\text{FeGe})_5\text{O}_{12}$	-2.0	3.0	3.0	7.0
2	$(\text{YEuTm})_3(\text{FeGaMn})_5\text{O}_{12}$	0	3.0	3.0	6.0
3	$(\text{YEuTm})_3(\text{FeGaMn})_5\text{O}_{12}$	0.0	5.0	5.0	7.0

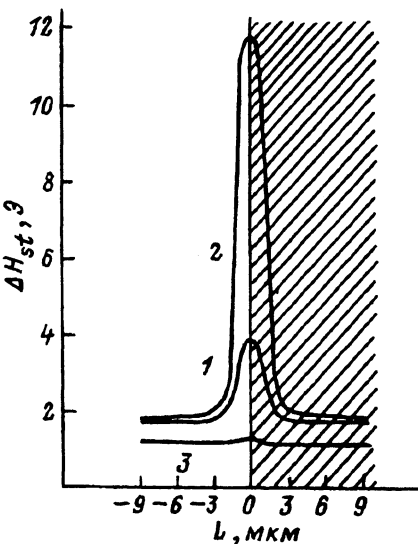


Рис. 2. Зависимость поля старта ЦМД ΔH_{st} от расстояния L до края аппликации. Цифровые обозначения кривых соответствуют номерам образцов в табл. 3.

~ 0.1 мкм на поверхность трех указанных образцов ФГП. Заштрихованная область на рисунке соответствует поверхности ФГП под слоем Al-Cu, незаштрихованная — свободной поверхности. Параметр L характеризует удаление ЦМД от края аппликации в момент измерения ΔH_{st} по методу Велла-Колейро [6]. Как следует из рис. 2, наличие локальных напряжений вблизи края аппликации создает определенный потенциальный барьер, для преодоления которого требуется приложить к ЦМД дополнительное продвигающее усилие (т.е. увеличить амплитуду токового импульса в проводниках схемы продвижения). Этот барьер, относительно небольшой в образце 1, существенно возрастает в образце 2 и практически полностью исчезает в образце 3 с нулевой магнитострикцией.

Такой результат, перенесенный на В_i-замещенные ФГП, открывает реальную перспективу снижения амплитуды токовых импульсов, переключающих магнитооптические затворы при формировании двумерного оптического изображения.

Таким образом, проведенные исследования показывают возможность получения ФГП $(\text{BiLu})_3(\text{FeGa})_5\text{O}_{12}$ с 5-микронными ЦМД, при использовании которых для формирования двумерного оптического изображения (пространственного модулятора света) может быть обеспечено время переключения единичного магнитооптического элемента $\tau \leqslant 10^{-8}$ с. При этом должна обеспечиваться минимальная амплитуда переключающего токового импульса как следствие рекордно высокой подвижности.

Отметим, что весьма низкая величина α_{FMR} , определившая высокую подвижность, получена в ФГП, выращенных из бессвинцового растворителя и, следовательно, не содержащих пары $\text{Pb}^{2+}-\text{Pb}^{4+}$, обеспечивающей благоприятный механизм зарядовой компенсации [3]. Возможной причиной этого является низкая коррозионная активность нового растворителя по отношению к платине и соответственно малое

содержание ионной пары $\text{Pt}^{4+}-\text{Fe}^{2+}$, ответственной в структуре ФПГ за уширение линии ФМР $\Delta H_{FMR} \sim \alpha_{MP}$.

Список литературы

- [1] Заболотная Н.В., Осико В.В., Рандошкин В.В. и др. // Письма в ЖТФ. 1984. Т. 10. Вып. 13. С. 788–792.
- [2] Малоземов А., Слончуски Дж. Доменные стенки в материалах с цилиндрическими магнитными доменами. М.: Мир, 1982. 382 с.
- [3] Бахтеузов В.Е., Ким Т.А., Рандошкин В.В. и др. // ЖТФ. 1985. Т. 55. Вып. 6. С. 1227–1230.
- [4] Robertson J.M., Algra H.A., Breed D.J. // J. Appl. Phys. 1981. Vol. 52. N 3(II). P. 2338–2340.
- [5] Элементы и устройства на ЦМД. Справочник / Под ред. Н.Н. Евтихиева, Б.Н. Наумова. М.: Радио и связь, 1987. 488 с.
- [6] Vella-Coleiro G.P., Tabor W.I. // Appl. Phys. Lett. 1972. Vol. 21. P. 7–8.
- [7] Argyle B.E., Jants W., Slonczewsky J.C. // J. Appl. Phys. 1983. Vol. 54. N 6. P. 3370–3386.
- [8] Glass H.L., Elliott M.T. // J. Cryst. Groth. 1976. Vol. 34. P. 285–288.
- [9] LeCraw R.C., Luther L.C., Georgy E.M. // J. Appl. Phys. 1982. Vol. 53. N 3. P. 2481–2482.
- [10] Гуревич А.Г. Магнитный резонанс в ферритах и антиферромагнетиках. М.: Наука, 1973. 591 с.
- [11] Волков В.В., Боков В.А., Карпович В.И. // ФТТ. 1982. Т. 24. Вып. 8. С. 2318–2324.
- [12] Dischman I.M., Piece R.D., Roman B.J. // J. Appl. Phys. 1974. Vol. 45. N 9. P. 4076.
- [13] Breed D.J., Voermans A.B., Nederpel P.Q.J., Van Bakel B.A.H. // J. Appl. Phys. 1983. Vol. 54. N 3. P. 1519–1527.

Донецкий физико-технический институт

Поступило в Редакцию

27 мая 1993 г.

В окончательной редакции
10 сентября 1993 г.